网络出版时间: 2017-9-8 12:37 网络出版地址: http://kns.cnki.net/kcms/detail/34.1065. R. 20170908. 1237.025. html

MMP-14 和 CD31-MVD 在结直肠癌组织中的表达及临床意义

马晋疆1 | 李志刚2 | 侯吉学2 | 黄桂林2

摘要 目的 探讨基质金属蛋白酶-14(MMP-14) 和 CD31 标记的微血管密度(CD31-MVD) 在结肠癌组织中的表达及其与肿瘤的临床意义。方法 采用免疫组织化学方法检测 60 例结直肠癌患者的癌组织及 20 例正常切缘组织中 MMP-14 和 CD31-MVD 的表达。采用 qRT-PCR 的方法检测 20 例新鲜结直肠癌组织及正常切缘组织中 MMP-14 mRNA 的相对表达量。结果 ① 结直肠癌组织中的 MMP-14 阳性表达率以及 CD31-MVD 值明显高于正常切缘组织(P < 0.05);② MMP-14 的表达及 CD31-MVD 值与肿瘤大小、浸润深度、TNM 分期和淋巴结转移有相关性(P < 0.05),而与患者性别、年龄无明显相关;③ MMP-14 的表达与 CD31-MVD 呈正相关性(P < 0.05);④ 结直肠癌组织中 MMP-14 mRNA 的相对表达量显著高于正常切缘组织(P < 0.01)。结论 结直肠癌组织中 MMP-14 的高表达和 CD31 标记的肿瘤组织微血管密度与结直肠癌的发生、浸润、转移有密切关系。

关键词 结直肠癌; 基质金属蛋白酶-14; CD31-MVD; 免疫组化; qRT-PCR

中图分类号 R 735.2

文献标志码 A 文章编号 1000 - 1492(2017) 11 - 1694 - 05 doi: 10.19405/j. cnki. issn1000 - 1492. 2017. 11.025

结直肠癌在国内外都是发病率较高的恶性肿瘤之一。最新的数据表明,2015年中国新发癌症患者429.1万,死亡281.4万,其中结直肠癌新发37.6万元亡19.1万^[1]。但是大多恶性肿瘤患者并不是死于原发灶,而是肿瘤的侵袭和转移。当癌细胞通过降解周围基底膜迁移侵入邻近血管时,极易发生侵袭和转移。基质金属蛋白酶(matrix metalloproteinase, MMPs)是一种蛋白溶解酶家族,其主要功能是降解细胞基底膜和细胞外基质(extracellular matrix, ECM) 在肿瘤的侵袭和转移过程中有着重要的促进作用^[2]。血小板内皮细胞黏附分子(platelet

2017-06-20 接收

基金项目: 新疆生产建设兵团卫生科技计划(编号: 2013 - 32)

作者单位: 1石河子大学医学院 石河子 832002

² 石河子大学医学院第一附属医院胃肠乳腺外科,石河子 832002

作者简介: 马晋疆 ,男 硕士研究生;

黄桂林 ,男 ,教授 ,主任医师 ,硕士生导师 ,责任作者 ,E-mail: 13899523416@ 163. com

endothelialcelladhe sionmolecule 1, PECAM-1,又称CD31)属于免疫球蛋白超家族,有研究^[3]证实 CD31参与了肿瘤细胞黏附于内皮细胞并促进肿瘤血管形成的过程。该研究应用免疫组织化学和 qRT-PCR技术对结直肠癌组织和正常切缘组织中 MMP-14和CD31标记的微血管密度(CD31-MVD)的表达进行检测,并检测了癌组织中 MMP-14 mRNA 的相对表达量。从蛋白质表达和基因转录两个方面简要分析了两者与结直肠癌临床病理的相关性,探讨其与结直肠癌疾病发生发展中的关系及临床意义。

1 材料与方法

1.1 一般材料 选取 2015 年 1 月~2016 年 5 月石河子大学医学院第一附属医院病理科经 10% 甲醛固定和石蜡包埋的结直肠癌癌组织切片 60 例(实验组)和距离肿瘤边缘 5 cm 以上的正常切缘组织20 例(对照组)用于免疫组化实验。具体临床病理资料如表 1。另选取同时期在本院普外二科住院手术治疗的结直肠癌患者新鲜结直肠癌及正常切缘组

表1 临床病理资料

	代 - 個/////////
项目	患者数[n(%)]
年龄(岁)	
≤ 55	18(30. 00)
>55	42(70.00)
性别	
男	35(51.67)
女	25(48.33)
浸润深度	
肌层以内	16(26. 67)
肌层以外	44(73. 33)
瘤体大小(cm)	
€3	11(18. 33)
>3	49(81.67)
淋巴结有无转移	
无	33(55.00)
有	27(45.00)
脉管内有无瘤栓	
无	50(83. 33)
有	10(16.67)
TNM 分期	
I + II	30(50. 00)
Ⅲ + IV	30(50.00)

织 20 例用于 qRT-PCR 实验。所有病例符合 WHO 结直肠癌诊断标准; 由病理科确诊; 术前未行放化疗及相关生物靶向治疗: 相关临床资料完整。

1.2 材料和方法

- 1.2.1 抗体和试剂 MMP-14 兔抗人单克隆抗体 (英国 Abcam 公司, 货号: ab51074); CD31 兔抗人多克隆 抗体(苏州 睿瀛 生物有限公司,货号: RLT0571); 免疫组化两步法试剂盒(武汉博士德公司,货号: SV0001、SV0002); DAB 显色试剂盒(北京中杉金桥生物有限公司,货号: ZLI-9018); TRIzol(美国 Invitrogen 公司); 逆转录试剂盒、实时荧光定量 PCR 仪(美国 Thermo 公司); Real-time PCR 的试剂盒(上海罗氏公司)。

MMP-14 结果判定: MMP-14 蛋白多表达于肿瘤 细胞的细胞质 ,呈棕黄色或棕褐色。根据样本阳性 细胞百分比和染色强度的乘积综合评分 ,见表 2。

表 2 免疫组化实验结果判定标准

阳性细胞	着色弦	虽度	评定结果			
百分比	计分(分)	强度	计分(分)	结果	积分(分)	
<5%	0	无着色	0	阴性	0 ~ 1	
$6\% \sim 25\%$	1	浅黄色	1	阳性	>1	
$26\% \sim 50\%$	2	棕黄色	2	-	-	
51% ~75%	3	棕褐色	3	-	-	
76% ~ 100%	4	-	-	-	-	

CD31-MVD 的结果判定: CD31 阳性染色呈棕黄色 ,主要定位在癌及癌旁组织的血管内皮细胞 部分表达于癌细胞。CD31-MVD 的判定标准: 参照 Weidner 校正方法 $^{[4]}$,取 5 个视野的平均值为 CD31-MVD 值。

1.2.3 实时荧光定量 PCR 检测 MMP-44 mRNA 将组织在 EP 管中剪成 $5~\text{mm}^3$ 的小块 将 $750~\mu$ l 的 TRIzol 加入 EP 管中 ,用 TRIzol 法提取结肠癌组织 及正常切缘组织的总 RNA。使用 NANO DROP2000 检测总 RNA 的浓度及光密度值。用反转录试剂盒 反转录为 cDNA 引物由上海生工设计合成(表 3),用 qRT-PCR 法检测 MMP-44 mRNA 的相对表达量。为消除样品量的差异 引入内参基因 β -actin 进行校

正。记录 Ct 值(基本循环数),计算出 Δ CT 值,用 $2^{-\Delta\Delta CT}$ 计算 MMP-14 的相对表达量。

表3 引物设计

基因	引物序列
β-actin	F: 5′-GGACTTCGAGCAAGAGATGG-3′
	R: 5´-AGCACTGTGTTGGCGTACAG-3´
MMP-14	F: 5′-ATCTGCCTCTGCCTCACCTA-3′
	R: 5´-AAGCCCCATCCAAGGCTAAC-3´

1.3 统计学处理 采用 SPSS 17.0 软件进行分析 , 采用 χ^2 检验分析 MMP-14 与各个临床病理特征的 关系 , μ_t 检验比较各组间的关系 , μ_t CD31-MVD 值以 \bar{x} ± s 表示。MMP-14 和 CD31-MVD 值的相关性采用 列联相关系数。 μ_t OS 为差异有统计学意义。

2 结果

- **2.1 MMP-14** 蛋白在结直肠癌中的表达 MMP-14 在结直肠癌组织中主要在细胞质表达 , 呈散在或团状分布。在少部分间质细胞中也有表达 ,但表达强度弱于癌细胞(图 1A)。 MMP-14 在正常切缘组织中不表达或微弱表达(图 1B)。实验组中 MMP-14 阳性表达率为 71.66% (43/60) ,显著高于对照组 16.00% (4/20) ,两组比较差异有统计学意义($\chi^2=16.533$,P<0.01)。
- 2.2 MMP-14 蛋白表达与结直肠癌临床病理特征的关系 免疫组化实验结果显示,结直肠癌组织中MMP-14 的表达与肿瘤浸润深度、肿瘤大小、淋巴结有无转移以及 TNM 分期相关(*P* < 0.05),而与患者的年龄和性别无关。见表 4。
- 2.3 CD31 在结直肠癌中的表达 CD31 阳性细胞着色部位主要是血管内皮细胞的细胞膜和细胞质 并且细胞膜着色比胞质重。CD31 染色的血管呈条索状或者具有明显的管腔 在结肠癌组织中的微血管形态不规则 分布不均 在癌组织周围微血管密度较高 是簇状分布(图1C) MVD 值为(32.56 \pm 7.09) 而在正常切缘组织中 CD31 染色的微血管的形态比较规则,分布也比较均匀(图1D) MVD 值为(22.25 \pm 5.41);结直肠癌组织的 MVD 值明显高于正常切缘组织,两组比较差异有统计学意义(P < 0.01)。
- 2.4 CD31-MVD 与结直肠癌临床病理特征的关系 免疫组化实验结果显示 ,结直肠癌组织中 CD31-MVD 值与肿瘤的瘤体大小、浸润深度、淋巴结有无 转移、脉管内有无瘤栓、TNM 分期相关(*P* < 0.05) ,与患者的年龄和性别无关。见表 4。

临床病理特征		MMP-14 表达(n)		2 ++		CD31 标记的 MVD		
	n —	+	-	— χ ² 值	P 值	$(\bar{x} \pm s)$	t 值	P 值
年龄(岁)								
≤ 55	18	14	4	0.47 0.492	0.492	32.27 ± 8.07	0.34	0.731
> 55	42	29	13		32.59 ± 6.50	0.51	0.751	
性别								
男	35	26	9	0.28	0.594	31.62 ± 7.02	-1.53	0.123
女	25	17	8	0.20	0.571	34.44 ± 6.63	1.55	0.123
瘤体大小(cm)								
€3	11	4	7	8.26	0.004	27.81 ± 6.16	-2.57	0.013
>3	49	39	10	0.20		33.63 ± 6.90		
浸润深度								
肌层以内	16	9	7	6.26	0.012	28.93 ± 8.40	-2.49	0.016
肌层以外	44	38	6	0.20	0.012	33.88 ± 6.14	2. 17	
淋巴结转移								
无	33	18	15	10.50	10.50 0.001	29.96 ± 6.28	-6.09	0.001
有	27	25	2	10.50 0.001		35.74 ± 6.20	0.07	3.001
脉管内瘤栓								
无	50	34	16	1.98 0.159	0.150	31.40 ± 5.41	-5.06	0.000
有	10	9	1		40.40 ± 3.20	5.00	0.000	
ГNM 分期								
I + II	30	16	14	9.93	0.002	28.70 ± 3.64	-7.32	0.000
Ⅲ + Ⅳ	30	27	3	7.73	0.002	37.10 ± 5.11	1.32	3.000

表 4 MMP-14、CD31 与肿瘤临床病理特征的关系

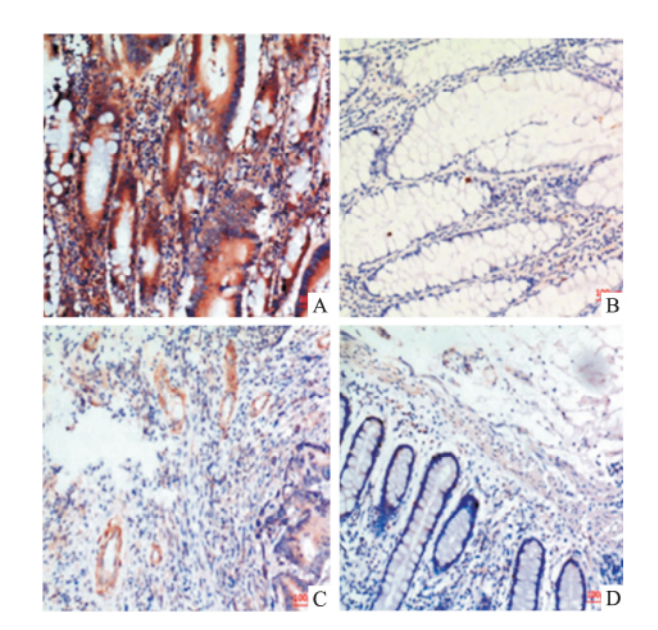


图 1 MMP-44 和 CD31 在结直肠癌组织中表达上调 SP 染色×100 A: MMP-14 在结直肠癌组织表达; B: MMP-14 在正常切缘组织表达; C: CD31 在结直肠癌组织表达; D: CD31 在正常切缘组织表达

2.5 MMP-14 与 CD31 的相关性 在结直肠癌组织中, MMP-14 阳性表达组中 CD31-MVD 值为 (34.41 ± 5.82), MMP-14 阴性表达组中 CD31-MVD 值为 (27.88 ± 7.91), MMP-14 阳性表达组中的 CD31-MVD 值明显高于阴性组,差异有统计学意义 (P < 0.05)。

按照实验组 CD31-MVD 的均值 32.5 为分界,

将结直肠癌组分为 LCD31(MVD < 32. 5) 30 例 以及 HCD31(MVD > 32. 5) 30 例。用列联相关系数分析 MMP-14 与 CD31-MVD 的相关性 ,结果显示呈正相 关性(r=0.665 P<0.01)。

2.6 MMP-14 mRNA 的相对表达量 qRT-PCR 实验显示 ,MMP-14 mRNA 的相对表达量在结直肠癌组织中高于正常切缘组织 ,两者差异有统计学意义 (P < 0.001)。见表 5。

表 5 MMP-14 mRNA 的相对表达量(n = 20)

项目	MMP-14 mRNA(ΔCT)	$2^{-\Delta\Delta CT}$	t 值	P 值
癌组织	15.33 ± 0.51	5.07	14 02	0.000
癌旁正常组织	17.74 ± 0.66	1.00	14.02	0.000

3 讨论

肿瘤细胞的侵袭和转移与细胞基底膜和细胞外基质有着密不可分的关系。基底膜所形成屏障是肿瘤细胞发生侵袭所跨越的重要屏障之一。而 MMPs 可以降解 ECM ,从而提高了肿瘤细胞侵袭和转移的可能性。 MMP-14 是一种膜型 MMPs ,其能够提高 ECM 结构蛋白的活性 ,也可以激活其他的 MMPs。既可以降解 EMC 和基底膜 ,也可以诱导肿瘤组织的血管生成 ,为肿瘤细胞生长提供营养支持 ,进而为肿瘤细胞进入循环系统转移提供了条件^[5]。很多实

验^[6-8]结果都证明 MMP-14 在肿瘤组织中的高表达与肿瘤的发生、发展关系十分紧密。研究报道,MMP-14 在结肠癌组织中高表达 ,并且其表达水平与肿瘤大小、Dukes 分期及有无淋巴结转移有显著相关性。这与本次实验的结果是相一致的。此外本实验用 qRT-PCR 的方法检测了结直肠癌及正常切缘组织中 MMP-14 mRNA 的相对表达量对正常切缘组织中 MMP-14 mRNA 的相对表达量较正常切缘组织高,这与免疫组化的结果相一致,也进一步说明 MMP-14 在结直肠癌的发生和发展中起着某些促进作用。

新生的血管可以为肿瘤组织提供其生长所需的 营养和氢 还可以提供大量的生长因子 瘤体就会不 断生长,并很快发生远处转移。大量研究[9-11]结果 表明 恶性肿瘤内微血管的数量和密度与其侵袭和 转移能力直接相关。CD31 经过与血小板的结合,介 导了肿瘤细胞与内皮细胞的黏附过程,使得两者黏 附的更加牢固 促进了肿瘤组织内的血管生成 进而 促进了肿瘤细胞的生长和侵袭[12]。研究[13]表明 CD31 在成熟和非成熟的肿瘤血管中均有表达,可以 比其他内皮细胞标记因子更加准确地标记出肿瘤组 织内微血管的数目和密度。本研究结果显示,结直 肠癌组中 CD31-MVD 值明显高于正常切缘组织 ,且 与结直肠癌组织的病理特征密切相关。肿瘤浸润深 度深、有淋巴结转移以及 TNM 分期高的组中 CD13-MVD 值相对也较大 这也反映了肿瘤组织中血管的 生成有助于肿瘤的生长、侵袭和转移。

肿瘤血管的形成过程中有大量的生物活性分子 参与其中 ,MMPs 就是其中一个重要的因子。新生 血管在芽生过程中必须降解局部 ECM 成分,而 MMPs 在此过程中起到非常重要的作用[14]。MMP-14 不仅可以降解 ECM 还可以通过调节 VEGF 的高 表达来促进血管生成[15]。本次实验中 MMP-14 阳 性的结直肠癌组织中 CD31-MVD 值明显高于阴性 组 ,也侧面反映出 MMP-14 有促进肿瘤组织血管成 长的作用。同时也提示 MMP-14 和 CD31-MVD 两者 在结直肠癌发生发展中有一定的相互关系。对 MMP-14 和 CD31-MVD 的深入研究有助于进一步揭 示结直肠癌的发病机制,并为结直肠癌的诊治提供 依据。此外 抑制肿瘤血管的生成已经成为一个新 的抗肿瘤方法,目前也有一些合成的 MMP 抑制剂 应用于临床试验 随着研究的不断深入将会有更加 成熟的 MMP 抑制剂应用于临床 ,为肿瘤患者提供

更好的治疗方法。

参考文献

- [1] Chen W , Zheng R , Baade P D , et al. Cancer statistics in China , $2015 \ [J]. \ CA \ Cancer \ J \ Clin \ , 2016 \ , 66(\ 2): 115-32.$
- [2] Gencer S , Cebeci A , Irmak-Yazicioglu M B. Matrix metal-loproteinase gene expressions might be oxidative stress targets in gastric cancer cell lines [J]. Chin J Cancer Rse ,2013 25(3): 322 33.
- [3] Tang D G, Chen Y Q, Newman P J, et al. Identification of PE– CAM-I in solid tumor cells and its potential involvement in tumor cell adhesion to endothelium [J]. J Biol Chem, 1993, 268 (30): 22883 – 94.
- [4] Weidner N. Intratumor microvessel density as a prognosis factor in cancer [J]. Am J Pathol 1995 147(1): 9-19
- [5] 朱 燕 杨其昌 ,刘宏斌 ,等. 宫颈癌组织中 CD146 和 MMP-14 表达的意义及相关性分析 [J]. 实用癌症杂志 2011 26(1):16 -9.
- [6] Gong Y ,Chippada-Venkata U D ,Oh W K. Roles of matrix metal loproteinases and their natural in hibitors in prostate cancer progression [J]. Cancers (Basel) 2004 6(3):1298-327.
- [7] Orgaz J L , Pandya P , Dalmeida R , et al. Diverse matrix metallo proteinase functions regulate cancer amoeboid migration [J]. Nat Commun , 2014 , 5: 4255.
- [8] Roomi M W , Kalinovsky T , Niedzwiecki A , et al. Modulation of uPA , MMPs and their inhibitors by a novel nutrient mixture in human glioblastoma cell lines [J]. Int J Oncol 2014 45(2):887 – 94.
- [9] 张永胜,徐龙江,李峰,等. 胰腺癌组织中 EGFR 和 CD31 的 表达及其临床意义[J]. 临床与实验病理学杂志,2011,27 (10):1117-9.
- [10] 张丽静,王圆圆,李芳,等. 结直肠癌发生过程中 CD31 与 VEGF的表达[J]. 中国现代医学杂志,2011,21(1):1-4.
- [11] Li G C , Zhang Z , Ma X J , et al. Are biomarkers correlated with recurence patterns in patients with resectable gastric adenocarcino ma [J]. Mol Biol Rep , 2012 , 39(1): 399 –405.
- [12] 程继荣,徐虓,王淑琴,等. 肺癌组织 CD31、CD34 及 CD105 标记的微血管密度的临床意义[J]. 中国癌症杂志,2010,20(8):638-40
- [13] Sumpio B E , Yun S , Cordova A C , et al. MAPKs (ERK1/2 , p38) and AKT can be phosphorylated by shear stress independently of platelet endothelial cell adhesion molecule-1 (CD31) in vascular endothelial cells [J]. J Biol Chem 2005 280 (12): 11185
- [14] Rigging K S , Mernaugh G , Su Y , et al. MT-MMP mediated basement menbrane remodeling modrlatersrenal development [J]. Exp Cell Res 2010 316(17): 2993 3005.
- [15] Zhang H, Wang Y, Xing F, et al. Over expression of LIMK1 promotes migration ability of multidrug-resistant osteosarcoma cell
 [J]. Oncol Res. 20011, 19(10-11): 501-9.

网络出版时间: 2017 - 9 - 8 12:37 网络出版地址: http://kns.cnki.net/kcms/detail/34.1065. R. 20170908.1237.026. html

活体供肾移植后外周血 Treg、Th17 及 Th17/Treg 比值的变化研究

欧 欣' 张 茜',刘洪涛²徐 飞'程 民3陈 军'徐晓玲'

摘要 目的 检测活体肾移植受者外周血调节性 T 细胞 (Treg) 和辅助性 T 淋巴细胞 17(Th17) 的比例,探寻肾移植术后外周血 Treg 细胞、Th17 细胞及 Th17/Treg 比值的动态变化规律。方法 采用前瞻性研究方法,用流式细胞术分别检测活体肾移植受者术前和术后 1.2.3 周及术后 1.2.3.4、5.6 个月的外周血 Treg 细胞、Th17 细胞比例。结果 Treg 细胞比例在术后第 2 周明显下降(P<0.05),术后 2 个月降至最低 较术前相比下降 68.6% (P<0.05),术后 6 个月恢复至术前水平。移植后第 1 周 (P<0.05),术后 1 个月恢复至术前水平。移植后第 1 周

2017-06-13 接收

基金项目: 安徽省自然科学基金(编号: 1608085 MH216)

作者单位: 安徽医科大学附属省立医院¹ 呼吸内科² 器官移植病 房³ 肿瘤免疫与营养治疗安徽省重点实验室 ,合肥 230001

作者简介: 欧 欣,女,硕士研究生;

徐晓玲,女,教授,主任医师,硕士生导师,责任作者,E-mail: xxlahh08@163, com

Th17/Treg 细胞比值明显升高(P < 0.05),持续至术后3个月,术后6个月恢复至术前水平。术后使用环孢素的受者Treg 细胞比例在术后2个月最低,下降67.1%(P < 0.05);术后使用他克莫司的受者Treg 细胞比例在术后3周最低,下降80.8%(P < 0.05),均在术后3个月开始缓慢上升。CD3⁺T细胞比例在术后1周降低(P < 0.05),术后3周恢复至术前水平。结论 活体肾移植术后免疫细胞处于动态变化。术后2周到5个月Treg细胞比例均明显降低其中以术后2个月最低。Th17/Treg细胞比值在术后1周到3个月均明显升高。他克莫司和环孢素对肾移植术后Treg细胞都有抑制作用。

关键词 肾移植;调节性 T 细胞; Th17 细胞中图分类号 R 699.2

文献标志码 A 文章编号 1000 - 1492(2017) 11 - 1698 - 06 doi: 10.19405/j. cnki. issn1000 - 1492.2017.11.026

活体肾移植术无疑已经成为终末期肾脏疾病的最有效治疗策略,免疫抑制剂的使用进一步提高了

Expression of MMP-14 and CD31-MVD in colorectal carcinoma and its clinical significance

Ma Jinjiang¹ Li Zhigang² , Hou Jixue² ,et al

(¹School of Medicine, Shihezi University, Shihezi 832002; ²Dept of Gastrointestinal and Breast Surgery, The First Affiliated Hospital of School of Medicine of Shihezi University, Shihezi 832002)

Abstract Objective To investigate the expression of matrix metalloproteinase-44 (MMP-44) and CD31-MVD in colorectal carcinoma and their clinical significance. Methods The expression of MMP-44 and CD31-MVD were detected by immunohistochemistry in 60 cases of colorectal carcinoma and 20 cases of normal tissues from resection margin. The expression of MMP-44 mRNA were detected by qRT-PCR in 20 cases of fresh colorectal carcinoma tissues and normal tissues from resection margin. Results ① The expression of MMP-44 and CD31-MVD in colorectal carcinoma tissues were significantly higher than those in the normal tissues from resection margin (P < 0.05). ② The expression of MMP-44 and CD31-MVD were correlated with tumor size , depth of invasion , TNM stage and lymph node metastasis (P < 0.05) , but there was no significant correlation with gender and age of patients. ③ The expression of MMP-44 was positively correlated with CD31-MVD. ④ The expression of MMP-44 mRNA in colorectal carcinoma were significantly higher than that in the normal tissues from resection margin (P < 0.01). Conclusion The high expression of MMP-44 and CD31-MVD in colorectal carcinoma were closely related to the occurrence , invasion and metastasis of colorectal cancer.

Key words colorectal cancer; MMP-14; CD31-MVD; immunohistochemistry; qRT-PCR